

$$\frac{\Delta T(r_1, z)}{\Delta T_m(z)} = \sqrt{\frac{u(r_1, z)}{u_m(z)}} = \sqrt{f\left(\frac{r_1}{r_1 + r_2}\right)},$$

где r_1 - расстояние до ядра струи; r_2 - расстояние до границы струи.

В том частном случае, когда разлив имеет круговую форму, полученное соотношение превратится в (1).

СПИОК ЛИТЕРАТУРЫ

1. Абрамович Г.Н. Прикладная газовая динамика. – М.: Наука, 1991. – 600 с.
2. Абрамович Г.Н. Теория турбулентных струй. – М.: Физматгиз, 1960. – 715 с.
3. Драйздейл Д. Введение в динамику пожаров. – М.: Стройиздат, 1990. – 420 с.
4. Байтала М.Р. Тепловое воздействие факела, формируемого восходящими потоками, на цистерну с нефтепродуктами / М.Р. Байтала, В.П. Садковой // Проблемы пожарной безопасности. – 2010. – Вип. 28. – С. 27–32.

S-1-s-10

УДК 614. 84

АНАЛИЗ ЗАКОНОМЕРНОСТЕЙ ТУШЕНИЯ ПОЖАРА НА НАЧАЛЬНОМ ЭТАПЕ АВАРИЙНО-СПАСАТЕЛЬНЫХ РАБОТ НА СТАНЦИЯХ МЕТРОПОЛИТЕНА

Бородич П.Ю., к.т.н., доц., Ревенко Р.Г.

Национальный университет гражданской защиты Украины

В докладе показано, что повышение эффективности функционирования пожарно-спасательных подразделений, персонала метрополитена и создаваемых органов управления пожаротушением требует наличия объективной оценки их деятельности, для получения которой необходимо не только проанализировать большое количество взаимозависимых промежуточных работ, которые обеспечивают тушение, эвакуацию и спасение (при необходимости) пострадавших, но и оценить как подготовленность спасателей, так и уровень соответствия станции существующим нормативно-техническим требованиям. В результате проведенных исследований, основу которых составляло имитационное моделирование, опирающееся на использование аппарата Е-сетей, были получены многофакторные зависимости времени выполнения основных процессов пожарно-оперативного обслуживания на станциях метрополитена от подготовленности личного состава пожарно-спасательных служб X_1 и персонала станций X_2 , а также степень реализации существующих нормативно-технических требований X_3 .

Для обоснования организационно-управленческих решений важно количественно сравнить их эффективность при всех возможных значениях рассматриваемых факторов. В докладе отмечается, что это можно сделать, получив соответствующие многофакторные зависимости до и после реализации разработанных в результате, например, анализа натурных экспериментов (в нашей практике мы использовали тактико-специальные учения на станциях метрополитена глубокого залегания в г. Харькове).

Моделирование в соответствии с планом 3x3x3 позволило рассчитать многофакторные зависимости времен наступления наиболее важных событий в общем комплексе аварийно-спасательных работ. После удаления незначимых эффектов стало

возможным перейти к сравнительной оценке эффективности реализации выбранных факторов. Так, многофакторные модели времени оперативного развертывания сил и средств в натуральных переменных до и после реализации предложенных рекомендаций имеют (графические представления соответствующих зависимостей приведены на рисунке 1) следующий вид

$$Y_3 = 1552,09 - 225,97x_1 - 89,38x_1^2 + 0,41x_1x_2 - 8,79x_1x_3 - 7,09x_2 + 0,45x_2^2 + 1,87x_2x_3 - ; \quad (1)$$

$$- 53,85x_3 - 1,96x_3^2$$

$$Y'_3 = 1287,81 - 203,29x_1 + 3,48x_1^2 - 6,91x_1x_2 - 0,72x_1x_3 - 69,71x_2 - 2,67x_2^2 - 1,77x_2x_3 - . \quad (2)$$

$$- 11,41x_3 + 1,56x_3^2$$

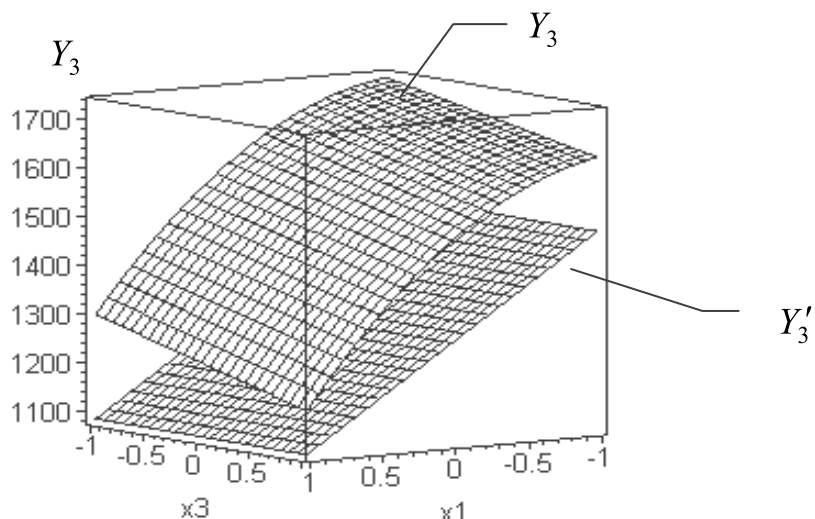


Рисунок 1 – Зависимость времени предварительного оперативного развертывания реализации рекомендаций

Сравнивая зависимости (1) и (2), также можно утверждать о существенном снижении времени предварительного оперативного развертывания (от 5% - в случае наилучшей подготовленности личного состава пожарно-спасательной службы и полной реализации нормативно-технических требований до 17%, когда эти факторы определяются соответствующими наиболее вероятными оценками.